

2018年8月27日(Ver.2)

第103回お試しアカウント付き
並列プログラミング講習会
「OpenFOAM 初級」

今野 雅

(東京大学情報基盤センター客員研究員, 株式会社 OCAEL)

目次

1	Ahmed body とは	5
2	解析モデル	8
3	基本的な解析条件	9
4	CFD 解析条件	10
5	解析領域	11
6	解析ケースの作成	12
7	解析手順	13
8	前処理	14
8.1	前処理ジョブの投入	16
9	mpi_core_setting.sh による MPI プロセスのピニング	18
10	特徴辺抽出 (surfaceFeatureExtract)	19
11	ベース格子生成 (blockMesh)	20
11.1	ベース格子での解析領域の指定	20
11.2	ベース格子での分割数・パッチの指定	21

12	並列格子生成用領域分割 (decomposePar)	22
13	並列格子生成 (snappyHexMesh)	23
13.1	三角分割表面形状の定義	23
13.2	直方体形状の定義	24
13.3	特徴辺の設定	25
13.4	階段状格子の設定パラメータ	25
13.5	形状表面の細分割	26
13.6	領域の細分割	27
13.7	解析領域の内部点指定	28
13.8	境界適合	28
13.9	境界層レイヤーの挿入	28
13.10	前処理のログの確認	31
14	ファイルの転送	34
15	格子の可視化	35
15.1	最終生成格子の可視化	35
15.2	特徴辺の可視化	37
16	流体解析用の領域分割	38
17	初期値作成	39
17.1	初期値作成ジョブの投入	40
18	流体解析	41

19	関数出力のモニター	42
20	流体解析の設定	44
20.1	流体物性値の設定	44
20.2	乱流モデルの設定	44
20.3	離散化スキームの設定	45
20.4	解法の設定	46
20.5	実行制御の設定	49
20.6	計算履歴の出力	49
20.7	境界条件の設定	51
20.8	解析結果の再構築	52
21	空力係数の実測値との比較	53
22	後処理	54
23	速度分布のプロットと実験値との比較	57
24	ParaViewによる計算結果の確認	59
25	流体解析の性能プロファイル実行	61
25.1	流体解析の性能プロファイル	61
25.2	プロファイル結果の表示	62
26	並列計算ベンチマークテスト	64

27	格子生成・空力解析演習	66
27.1	格子生成・空力解析演習手順	66
27.2	格子生成・空力解析演習設定変更例	67
27.3	格子生成・空力解析演習実行例	67
28	補足	68
28.1	Intel MPI ライブラリでの実行エラー	68
28.2	Oakforest-PACS での OpenFOAM のコンパイル	68

1 Ahmed body とは

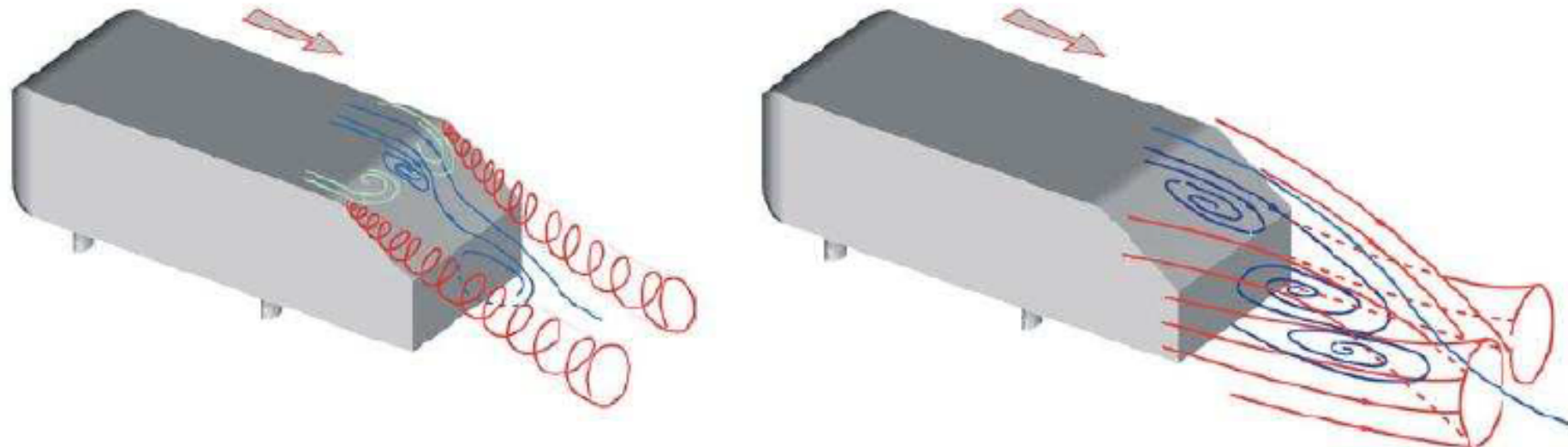
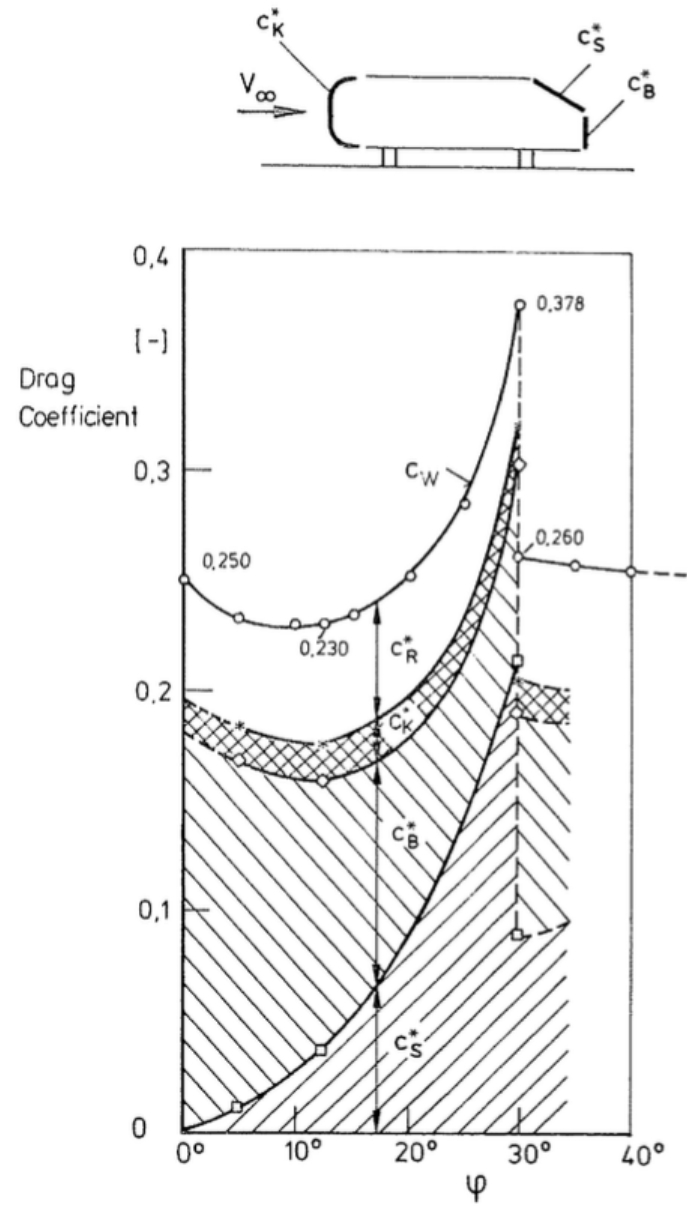


図1 Ahmed body後流の特性(左図：傾斜角度 $\theta = 25^\circ$ ，右図：傾斜角度 $\theta = 35^\circ$)[4]

- Ahmed bodyは、1984年に当時のドイツ航空宇宙研究所(DFVLR)、現在のドイツ航空宇宙センター(DLR)のSyed R. AhmedがSAE(Society of Automotive Engineers)に投稿した論文[2]において風洞実験を行なっている自動車モデルの略称である。
- このモデルは図1に示す通り、非常に単純化されたモデルであるため、風洞実験やCFD解析での再現が容易である。
- 一方で、車体後部上面の傾斜角度が $\theta = 25^\circ$ では、車体後部上面の両端に後引き渦が発生しているなど、複雑な流れ場となっている。⁵



- 図2に示す通り、抗力係数 C_d 値が車体後部上面(スラント)の傾斜角度 θ が $25^\circ \sim 30^\circ$ の範囲で急増し、 $\theta = 30^\circ$ を境に急減する特徴を持つことから、スラント角によって引き起こされる車体後方領域の流れを調査するのによく用いられた。

図2 傾斜角度による空気抗力係数の特性[2]

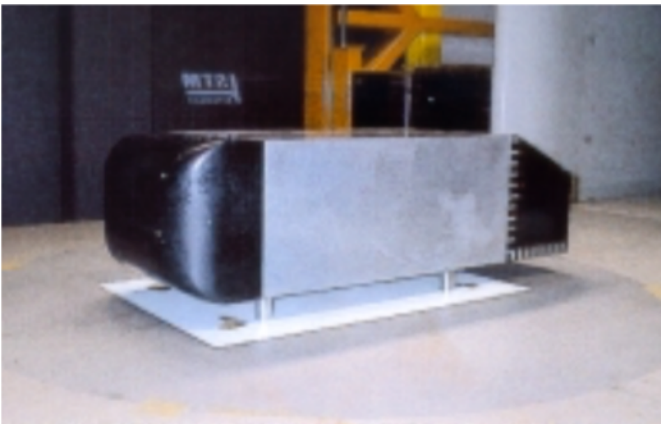


図3 LSTM低風速風洞での
Ahmed bodyの実験)[3]



図4 オイルと煤によるAhmed body後部表面の流脈可視化(左図: 傾斜角度 $\theta = 25^\circ$, 右図: 傾斜角度 $\theta = 35^\circ$)[3]

- ヨーロッパのModels for Vehicle Aerodynamics(MOVA)プロジェクトとして、ドイツ、エアランゲン大学の流体力学研究室(通称LSTM)のLienhartら[3]により、図3に示すLSTMの低風速風洞において、スラント角が 25° , 35° のAhmed bodyについて、2成分レーザードップラー風速計(LDA)を用いた詳細な流速の計測や、図4に示すスラント表面の流脈可視等が行われた。
- これらの実験結果およびAhmed bodyの形状データは、ERCOFTAC(European Research Community On Flow, Turbulence And Combustion)のClassicケース8.2としてWeb[6]で掲載されており、簡単に詳細なデータ入手できることから、自動車空力解析用のベンチマークモデルとして良く用いられる。

2 解析モデル

- 車体の形状は車長は $D = 1.044 \text{ m}$, 車幅は $W = 0.389 \text{ m}$, 車高は $h = 0.288 \text{ m}$ である.
- 本演習では, 車体後部上面の傾斜角度(以下, スラント角)は $\varphi = 25^\circ$ とする.

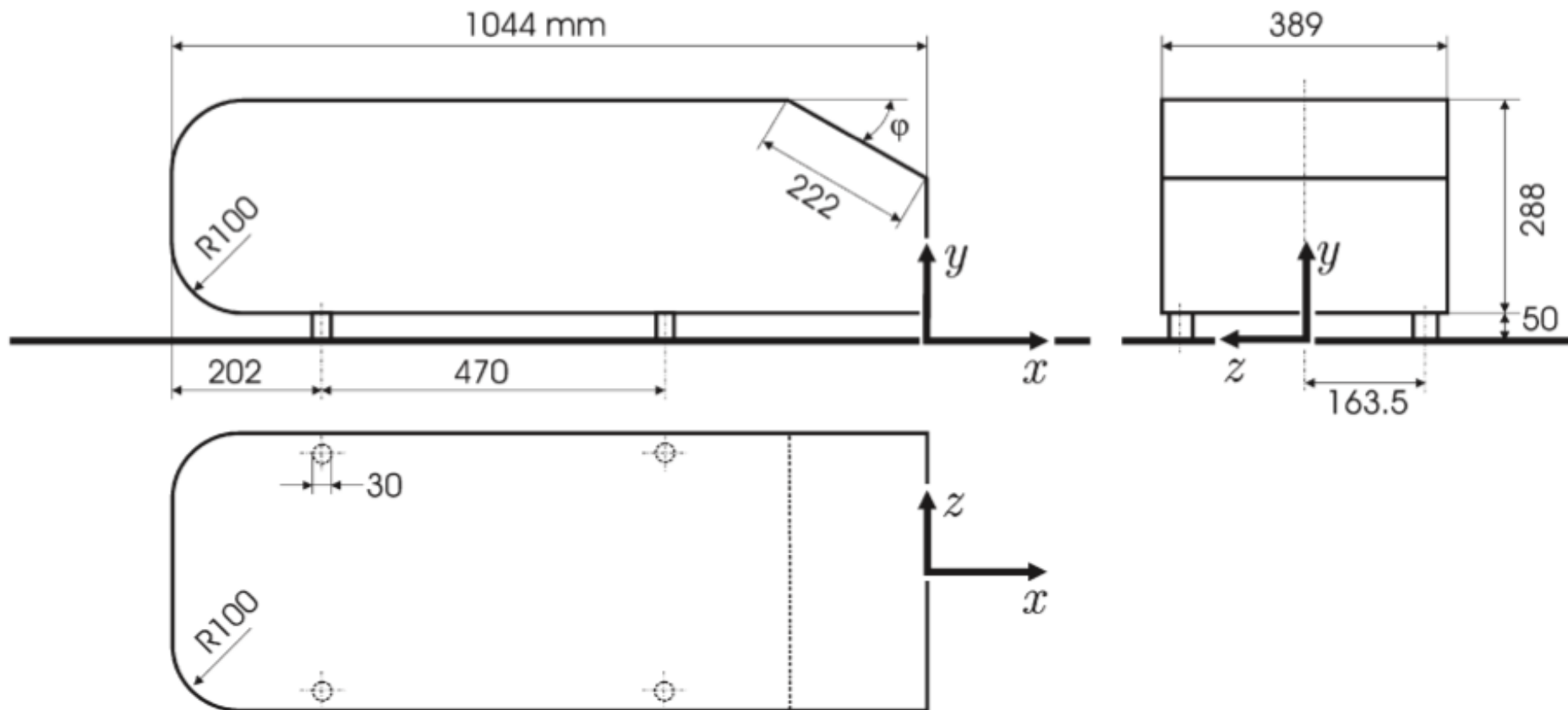


図5 Ahmed Body モデル[5]

3 基本的な解析条件

- RANS乱流モデルを用いた非圧縮性流体の定常解析を行う.
- 基本的な解析条件は、ERCOFTAC Classicケース8.2のWEBページ[6]に記載されている表1の条件を用いる.

表1 解析条件

風洞高さ	$H = 1.4 \text{ [m]}$
空気の動粘性係数	$\nu = 15 \times 10^{-6} \text{ [m}^2/\text{s}]$
流入速度	$U = 40 \text{ [m/s]}$ (風洞実験でのバルク風速)
車高	$h = 0.288 \text{ [m]}$
レイノルズ数(車高ベース)	$Re = Uh/\nu = 768,000 \text{ [-]}$

4 CFD 解析条件

表2 CFD 解析条件

上面・側面境界	すべり壁(slip wall)
壁面境界	すべり無し壁(no-slip wall), 滑面に対する壁関数
乱流モデル	標準 $k - \omega$ SST モデル
流入境界乱れ強さ	$I = 0.25[\%]$
流入境界乱流長さスケール	$l = 0.07H = 0.098[m]$
移流項の離散化スキーム	全ての場について TVD(limited linear)
解析ソルバ	simpleFoam(定常乱流解析ソルバ)
圧力・速度連成手法	SIMPLEC 法

- 風洞実験では天井面と側面は開放されていたが、CFD 解析ではすべり壁とする。
- 床面と車体表面はすべり無し壁とし、壁関数を設定する。
- 乱流モデルは $k - \omega$ SST モデルを使用する。
- 風洞実験での測定を行なったドイツ・バイエルン州・エアランゲン大学の LSTM 低風速風洞の流入風は、平均乱流強度が 0.25% 以下と記載されているので、乱流強度 I は 0.25%。
- 乱流長さスケール l は、風洞高さを $H = 1.4[m]$ として、 $l = 0.07 \times H = 0.098[m]$ 。

5 解析領域

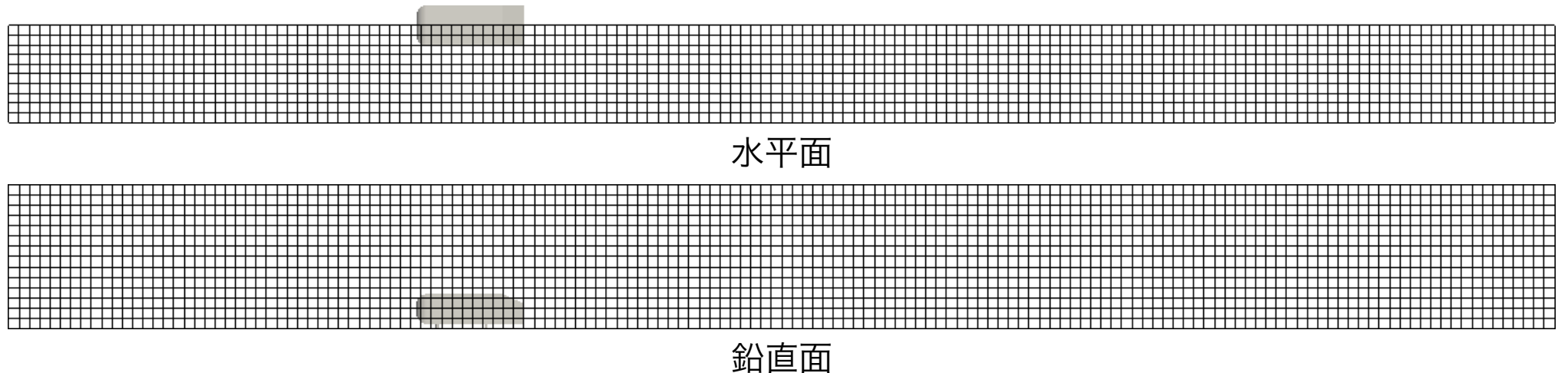


図6 解析領域の格子分割とAhmedbody モデル

- 本解析では、車体が対称面を持つため、解析領域も空間対称に設定することが可能である。
- また、RANS乱流モデルを用いた定常解析を行うので、車体の対称面に対して、流れ場の定常解も対称であると仮定し、対称面を設けた半分の領域の解析を行う。
- 解析領域は $15[m] \times 0.935[m] \times 1.4[m]$ とする。
- 計算格子はベース格子の分割幅 Δx が概ね $0.1[m]$ となるように分割数を指定する。
- そのベースメッシュを基準とし、車体周辺の流れを捉えるための再分割領域の設定と、形状を表現するための細分割の設定を行う。

6 解析ケースの作成

- OpenFOAMでは、基本的に付属しているチュートリアルモデルの中から解きたい解析モデルをコピーして編集するのが一般的な解析ケースの作成方法である。
- 本解析は非圧縮性流体解析であるから、カテゴリーは *incompressible* であり、また定常乱流解析のため、ソルバーは *simpleFoam* となる。
- 対応するチュートリアルのディレクトリから、本解析に最も近いケースを探すと、バイクの空力解析 *motorBike* および車の2次元空力解析 *simpleCar* となるので、これらを参考に設定を作成する方法がある。
- 今回は、演習の時間が限られているので、既に作成済みの解析ケースをコピーする。

Oakforest-PACSにログインして、以下のコマンドを実行し、講習会用ファイルを展開する。なお、講習会用ディレクトリの参照を容易にするためにシンボリックリンクを貼っている。

計算用ディレクトリへの移動と講習会用ファイルの展開

```
1 cd /work/gt00/$USER
2 tar xf /work/gt00/share/lecture20180828.tar.xz
3 ln -s /work/gt00/$USER/lecture ~/
```

作成済の解析ケースのコピー

```
1 cd ~/lecture/Ahmed25
2 cp -a template case-1
3 cd case-1
```

7 解析手順

1. 前処理 (スクリプト: *pre.sh*)

- (a) 特徴辺抽出 (surfaceFeatureExtract)
- (b) ベース格子生成 (blockMesh)
- (c) 並列格子生成用領域分割 (decomposePar -decomposeParDict 辞書名)
- (d) 並列格子生成 (snappyHexMesh -decomposeParDict 辞書名 -overwrite -parallel)
- (e) 格子の再構築(注) (reconstructParMesh -constant)
- (f) 格子の品質チェック (checkMesh -constant)

2. 初期値作成 (スクリプト: *solveInit.sh*)

- (a) 格子順変更による行列バンド幅縮小 (renumberMesh -overwrite -parallel)
- (b) ポテンシャル流れを解いて初期値作成 (potentialFoam -parallel)

3. 流体解析用の領域分割 (スクリプト: *decomposePar.sh*)

- (a) 流体解析用の領域分割(注) (decomposePar -force)

4. 流体解析 (スクリプト: *solve.sh*. 性能プロファイル実行時は *solveVTune.sh*)

- (a) ソルバ実行 (simpleFoam -parallel)

5. 後処理 (スクリプト: *post.sh*)

- (a) 解析結果のサンプリングなど (postProcess -func sample -parallel など)

6. 結果プロット (スクリプト: *plot.sh*)

注) 並列格子生成による格子数が非常に多い場合等、格子の再構築と本解析用の領域再分割も行わない手順もあるが、本手順では格子生成と流体解析の領域分割が独立となり自由度が高く、計算効率も上げやすい。

8 前処理

Code 1 pre.sh(前半)

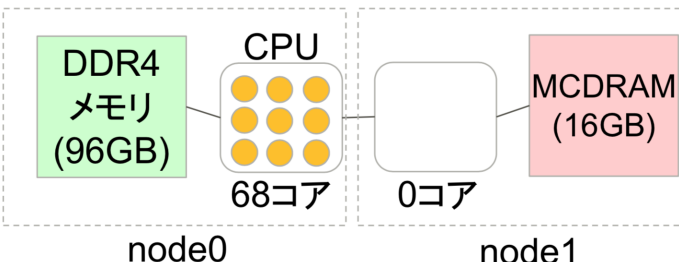
```
1 #!/bin/bash
2 #PJM -S
3 #PJM -g gt00
4 #PJM -L elapse=0:15:00
5 #PJM -L rscgrp=tutorial-flat
6 #PJM -L node=1
7 #PJM --mpi proc=64
8 source share.sh # 共通の設定
```

ジョブ投入コマンド pbsub に与えるオプションを #PJM 以降に記述できる。また、これらの指定は、ジョブ投入コマンド pbsub のオプションにより上書きされる。

- -L rscgrp=tutorial-flat : リソースグループ=tutorial-flat(講習会の時間のみ有効)
講習会終了後はリソースグループを lecture-flat に書き変えるか、 pbsub のオプション
に -L rscgrp=lecture-flat を指定する。
- -L node=1 : ノード数=1
- -mpi proc=64 : 総プロセス数=64
- -L elapse=0:15:00 : 経過時間制限=15分(講習用リソースグループの最大値)
- -g gt00 : 課題番号=gt00(講習用)
- -S : ジョブ統計情報とノードごとの詳細情報をファイルに出力

Code 2 share.sh

```
1 #!/bin/sh
2 module purge # 標準で有効なmoduleに依存しないよう全moduleをunload
3 module load intel/2018.1.163 # intelコンパイラ環境をload
4 export HOME=/work/$(id -gn)/$USER # $HOMEを参照するOFのスクリプト用に設定
5 # OpenFOAM-v1712環境設定
6 # KNL版はログインノードやプリポストノードで動作せず、通常版に比べての高速化は僅か
7 source /work/gt00/share/OpenFOAM/OpenFOAM-v1712/etc/bashrc \
8 WM_COMPILER=Icc2018_1_163 WM_MPLIB=INTELMPI2018_1_163 # 通常版
9 #source /work/gt00/share/OpenFOAM/OpenFOAM-v1712/etc/bashrc \
10 #WM_COMPILER=Icc2018_1_163KNL WM_MPLIB=INTELMPI2018_1_163 # KNL版
11 source /usr/local/bin/mpi_core_setting.sh # MPIプロセスのピニング
12 export I_MPI_DEBUG=5 # MPIプロセスのピニング等のデバッグ情報取得
13 env # 念のため実行時の環境変数を記録しておく
14 numa="numactl -p 1" # numactl -p 1 : MCDRAMができるだけ使用
15 # numactl -p 1 付きでのコマンド実行が失敗する場合はCacheモードなので、以降numactlを実行しない
16 $numa numactl -s 2> /dev/null || numa=""
17 mpirun="mpiexec.hydra -n $PJM_MPI_PROC" # MPI実行用コマンド($PJM_MPI_PROC=プロセス数)
18 log=$PJM_JOBNAME.1$PJM_JOBID # ログファイル名のベース=ジョブ名.1ジョブID(任意)
```



リソースグループが*-cache の時は Cache モードとなり、高 bandwidth メモリの MCDRAM はキャッシュメモリとして利用されるので、特に設定の必要はないが、リソースグループが*-flat の時は Flat モードとなり、MCDRAM を優先的に使うには、numactl などで設定する。図引用元 [7]

Code 3 pre.sh(後半)

```
9 $numa surfaceFeatureExtract >& $log.surfaceFeatureExtract # 特徴辺抽出
10 $numa blockMesh >& $log.blockMesh # ベース格子生成
11 $numa decomposePar -decomposeParDict system/decomposeParDict.mesh \
12   >& $log.decomposePar.mesh # 格子生成用領域分割. -decomposeParDictで領域分割の辞書指定
13 $mpirun $numa snappyHexMesh -decomposeParDict system/decomposeParDict.mesh \
14   -overwrite -parallel >& $log.snappyHexMesh # 並列格子生成
15 $numa reconstructParMesh -constant >& $log.reconstructParMesh # 格子の再構築
16 $numa checkMesh -constant >& $log.checkMesh # 格子の品質チェック
```

8.1 前処理ジョブの投入

ジョブスクリプト *pre.sh* を pbsub で投入する。

ジョブの投入

```
1 pbsub pre.sh # 講習会終了後は pbsub -L rscgrp=lecture-flat pre.sh
```

以下のコマンドにより、投入したジョブの状況を確認する。

ジョブの状況確認

```
1 pjstat
```

本演習において、今後 pbsub でジョブを投入したら、pjstat で適宜ジョブの状態を確認する。

ジョブが実行状態になったら、 tail コマンドを用いて、 ログのトレースを行う。

ログファイルのトレース

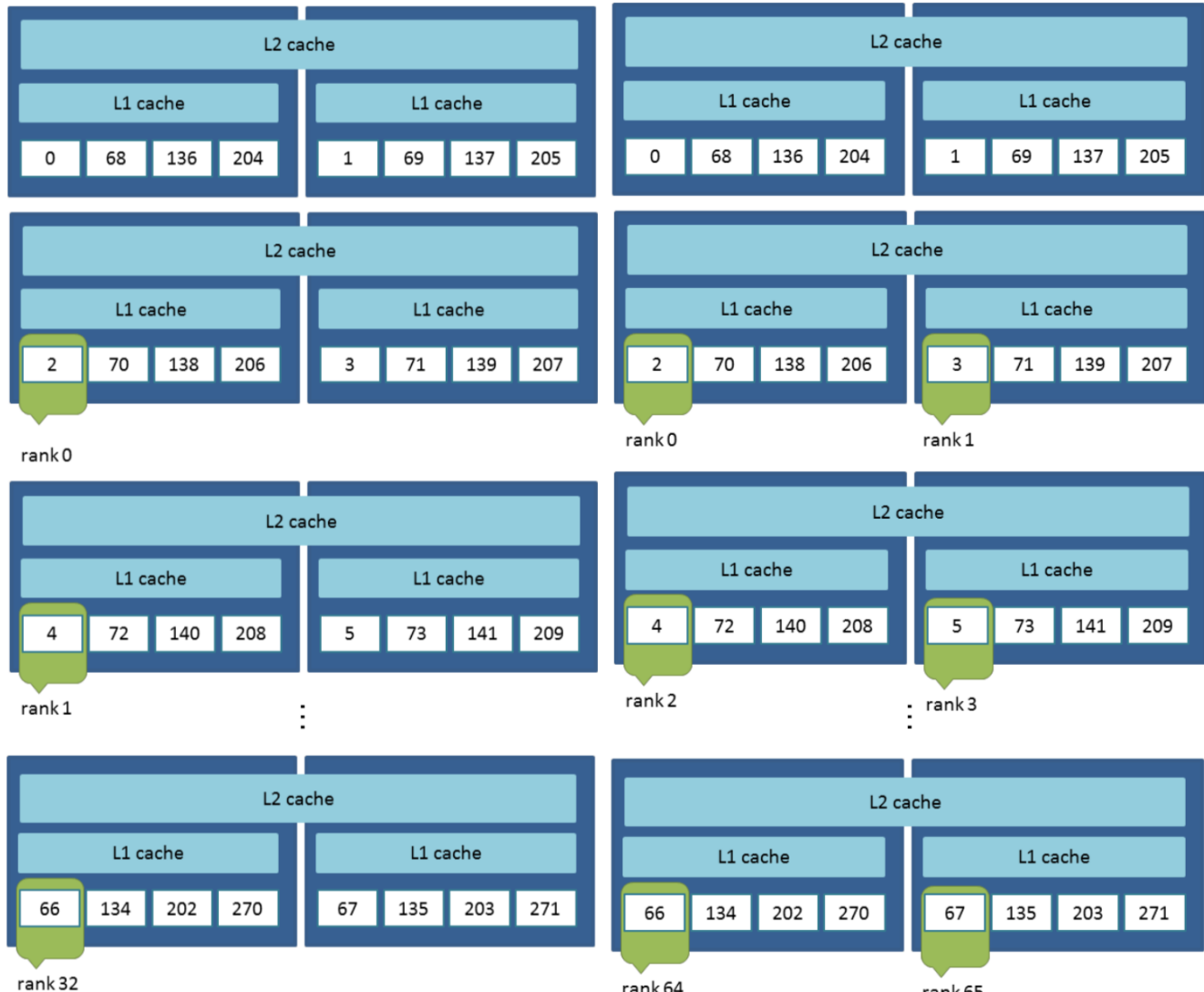
```
1 tail -f *.sh.l*
```

ユーティリティ毎にログファイルが異なるので、 Endなどのメッセージが出るなどしてログファイルの更新が止まつたら、 Ctrl+C(コントロールキーとCキー)を押してtail コマンドを一旦終了させて、 カーソル↑ + リターン、 または、 !!で再度上記コマンドを実行する。

Tips

- 特徴辺抽出(surfaceFeatureExtract), ベース格子生成(blockMesh), 領域分割(decomposePar), 格子再構築(reconstructParMesh)などの並列処理できないユーティリティは、 後述するような複数ノードを使用するジョブ内ではなく、 *pre.sh*のように1ノードで実行するジョブで実行させるほうがトークンを節約できる。
- 空いている隙間リソースに割りあてるバックフィルスケジューリング機能により実行開始が早まる可能性が高くなるので、 経過時間を見積って、 できるだけ適切な経過時間制限値を-L elapseで設定する。

9 mpi_core_setting.shによるMPIプロセスのピニング



1ノード内プロセス数が1~33
L2キャッシュを1プロセスが専有

1ノード内プロセス数が34~66
L1キャッシュを1プロセスが専有

ピニングを適切に行わないと、プロセスが偏って割り当てられ、性能が劣化する可能性が高い。最初は必ずピニング結果を確認する

先頭の物理コアは、CPUスケジューリングクロック割り込み抑止設定(動的Tickless)がされていないので、なるべく先頭タイルは使用しない

物理コア数: 68

一般的に、ノード当たり66プロセス以下のL1専有より、ノード当たり33プロセス以下のL2専有のほうが、メモリ帯域幅も多く使用でき、ピーク性能が高くなるが、L1専有のほうが費用(トークン)対性能が高い事も多いので、事前のベンチマークテストが重要

図引用元 [7]

10 特徴辺抽出 (surfaceFeatureExtract)

- 格子生成において特徴辺を再現するため、形状データから特徴辺を抽出する。
- 特徴辺の抽出する形状を *system/surfaceFeatureExtractDict* で定義する。
- 辺に隣接する2つの三角形の法線ベクトルの成す角度が *includedAngle* 以下であれば特徴辺として抽出される。
- ここでは、車体の先端の特徴辺を取り込み、かつ平面内の分割線を特徴辺として認識しないよう *includedAngle* を $179.9[^\circ]$ としている。

Code 4 *system/surfaceFeatureExtractDict*

```
17 AhmedBody.stl // 三角分割表面形状ファイル名
18 {
19     // 特徴辺の抽出法
20     extractionMethod    extractFromSurface; // 表面形状ファイルから抽出
21
22     extractFromSurfaceCoeffs
23     {
24         // 隣接する2つの面の法線の角度が以下より小さい辺を特徴辺とする
25         includedAngle    179.9;
26     }
27
28     // 可視化用に特徴辺をobj形式で出力
29     writeObj           yes;
```

11 ベース格子生成 (blockMesh)

11.1 ベース格子での解析領域の指定

- ベース格子の作成には blockMesh を用いる.
- 計算格子はベースメッシュの幅が約 $\Delta x = 0.1[m]$ となるように分割数を指定し、各境界面にもパッチ名を付与する.
- 車体後部が $x = 0$ 、車体の対称面が $y = 0$ 、床面が $z = 0$ となるように解析領域($15[m] \times 0.935[m] \times 1.4[m]$)を指定する.

Code 5 system/blockMeshDict

```
20 xmin -5;  
21 xmax 10;  
22 ymin -0.935;  
23 ymax 0;  
24 zmin 0;  
25 zmax 1.4;  
26  
27 vertices  
28 (  
29   ( $xmin $ymin $zmin )  
30   ( $xmax $ymin $zmin )
```

11.2 ベース格子での分割数・パッチの指定

ベース格子の分割幅 Δx が、約0.1[m]となるように分割数を指定する。

Code 6 system/blockMeshDict

```
39 blocks
40 (
41     hex ( 0 1 2 3 4 5 6 7 ) (150 10 14) simpleGrading (1 1 1)
42 );
```

解析領域の各面に対して、以下のようにパッチを指定する(設定は省略)。

表3 解析領域の境界面

境界条件	パッチ名	パッチ型
対称面	center	symmetry
側壁	side	wall
流入面	inlet	patch
流出面	outlet	patch
床面	lowerWall	wall
天井	upperWall	wall

12 並列格子生成用領域分割 (decomposePar)

- 生成する格子が複雑になるに従って, snappyHexMesh の計算時間が長くなる.
- 特に Xeon Phi ではコアの性能が低く時間がかかるので, できれば並列計算する.
- 今回格子生成用の領域分割の設定は, 本解析用の領域再分割とは別に行うため, 通常の *system/decomposeParDict* ではなく, *system/decomposeParDict.mesh* で行う.
- *numberOfSubdomains* で領域分割数(並列数), *method* で分割手法を指定する.
- ここでは, 1ノードあたり 68 物理コアのうち 64 コアを用いて並列計算を行う(2 の階乗のほうが simple や hierarchical での分割数指定が容易).

Code 7 system/decomposeParDict.mesh

```
18 numberOfSubdomains 64; // 領域分割数(並列数)
19
20 // method: 分割手法
21 method      hierarchical;
22
23 hierarchicalCoeffs
24 {
25     n          (4 4 4); // x,y,z方向の分割数
26     delta      0.001;
27     order      xyz; // 分割順序
28 }
```

13 並列格子生成 (snappyHexMesh)

blockMeshで解析領域を作成したので、次はsnappyHexMeshで車両周りのメッシュ作成、細分割領域の作成、境界層レイヤーの挿入を行う。ここでは、snappyHexMeshを用いて、細かなメッシュ操作について説明する。

13.1 三角分割表面形状の定義

snappyHexMeshの設定ファイル*snappyHexMeshDict*の*geometry*で形状の指定と細分割領域を定義する。基本的な記述方法としては、形状の種類、形状の識別名、形状の領域を指定する。形状の識別名は細分割や境界層の挿入のメッシュ操作の際に用いられる。

Code 8 system/snappyHexMeshDict

```
28 geometry
29 {
30     // CADデータのファイル名(constant/triSurfaceディレクトリ内)
31     AhmedBody.stl
32     {
33         type triSurfaceMesh; // 形状の種類
34         name AhmedBody;      // 形状の識別名
35     }
```

13.2 直方体形状の定義

本解析モデルでは車両周りの流れを捉えるために4段階の細分割領域を定義した。車両に近くにつれて細かくなるように領域refinebox1-refibebox4を定義した。

Code 9 system/snappyHexMeshDict

```
37   refinebox1 // 形状の識別名
38   {
39     type searchableBox;           // 形状の種類
40     min ( -2.610 -0.935 0.0 ); // 直方体の座標最小値
41     max ( 2.610 0.935 0.845 ); // 直方体の座標最大値
42 }
```

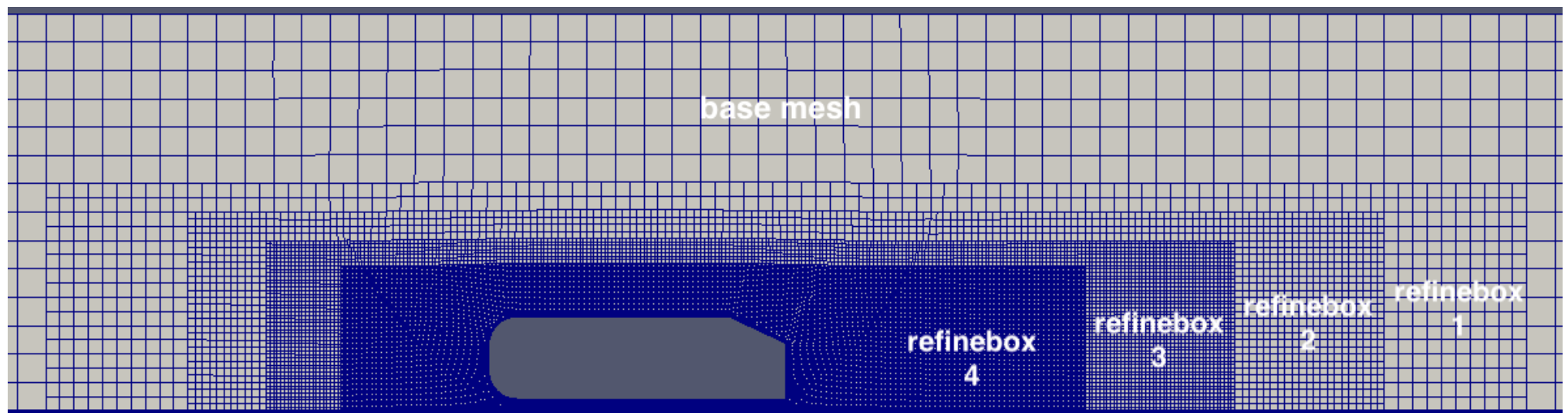


図7 領域の細分割

13.3 特徴辺の設定

後述するsurfaceFeatureExtractで抽出される特徴辺に対する分割レベルを設定する。

Code 10 system/snappyHexMeshDict

```
81 features
82 (
83 {
84     file "AhmedBody.eMesh";    // 特徴線ファイル
85     level 4;                  // 分割レベル
86 }
```

13.4 階段状格子の設定パラメータ

階段状格子を作成するために必要なメッシュ数の制限や格子間のレイヤ数に関するパラメータを設定する。指定した細分割レベルまで細分割が進むように、maxLocalCells や maxGlobalCells は大きくしておく。

Code 11 system/snappyHexMeshDict

```
67 castellatedMeshControls
68 {
69     maxLocalCells 100000000;    // プロセッサあたりの最大メッシュ数
70     maxGlobalCells 200000000;   // 全体の最大メッシュ数
71     minRefinementCells 10;     // 細分割される最小メッシュ数
```

```
72 nCellsBetweenLevels 3;      // 細分割レベルが異なる格子間のレイヤ数  
73 maxLoadUnbalance 1;        // 並列時ロードバランシングを行なわない割合  
74 // 本解析用の領域分割を後で行うので、ここではロードバランシングを行なわない
```

13.5 形状表面の細分割

refinementSurfaces で geometry で定義した形状表面に細かいメッシュを作成する。分割レベルを level で指定し、ベースメッシュの分割レベルを 0 として、1 上がるごとに 格子の辺を 2 分割する細分割を行う。分割レベルは最小値と最大値を指定するが、なるべく同一にするほうが望ましい。形状再現性や格子分解能を考慮して、必要に応じて分割レベルを調整する。また、作成されるパッチ面の型定義やグループ化には patchInfo を用いる。

Code 12 system/snappyHexMeshDict

```
98 refinementSurfaces  
99 {  
100     AhmedBody // geometry ブロックで定義した形状の識別名  
101     {  
102         level (4 4); // 形状表面の細分割レベル (最小値 最大値)  
103  
104         patchInfo  
105         {  
106             type wall; // パッチの境界条件  
107             inGroups (AhmedBodyGroup); // グループ名
```

```
108     }
109   }
110 }
```

13.6 領域の細分割

`refinementRegions`で`gemetry`で定義した形状の領域内(外も可能)のメッシュを細分化を行う。細分割する領域を`mode`で設定するが、指定した形状の内部(`inside`)、外部(`outside`)、距離(`distance`)を選択できる。また、`levels`に対して((距離 分割レベル))を指定する。ここで、距離は`mode`が`distance`以外の時は、特に意味を持たない。

Code 13 system/snappyHexMeshDict

```
129 refinementRegions
130 {
131   refinebox1
132   {
133     mode inside; // 領域内が分割される
134     levels ((1E15 1)); // 2番目の数字が細分割レベル
135     // 最初の数字はmodeがdistanceの場合のみ、1番目が距離を表わす。
136   }
137
138   refinebox2
```

13.7 解析領域の内部点指定

`locationInMesh` で解析領域の内部点を指定する。この点により定義した形状の内外判定が行われる。この点は、格子生成の途中の段階でも格子の界面や節点に一致してはいけない。

Code 14 system/snappyHexMeshDict

```
166 locationInMesh ( -1e-10 -1e-10 1e-10 );
```

13.8 境界適合

`snapControls` で境界適合過程の制御パラメータを指定する。今回はデフォルトのままである。

13.9 境界層レイヤーの挿入

`addLayersControls` の `layers` で壁面に対して、境界層レイヤーを挿入することができる。境界層レイヤーを挿入するために必要な設定パラメータは「レイヤ厚さ」、「レイヤ数」、「拡大比」である。これらのパラメータを組み合わせて、解析に適したレイヤーを挿入する。

Code 15 system/snappyHexMeshDict

```
213 addLayersControls
214 {
215     // 以下で指定するレイヤのサイズが相対値(true)か絶対値(false)か?
216     // 相対値の場合、レイヤの外側の格子幅に対する比を指定する.
```

```
217     relativeSizes false;  
218  
219     // パッチ毎のレイヤー情報  
220     layers  
221     {  
222         lowerWall // パッチ名  
223         {  
224             nSurfaceLayers 3; // レイヤ数  
225         }  
226  
227         "AhmedBody_.*" // パッチ名  
228         {  
229             nSurfaceLayers 5; // レイヤ数  
230         }  
231     }  
232  
233     expansionRatio 1.2; //レイヤー拡大比  
234  
235     firstLayerThickness 0.0025; //最初のレイヤー厚さ [m]  
236 //     finalLayerThickness 1; // 壁面最遠界層レイヤー厚さ [m]
```

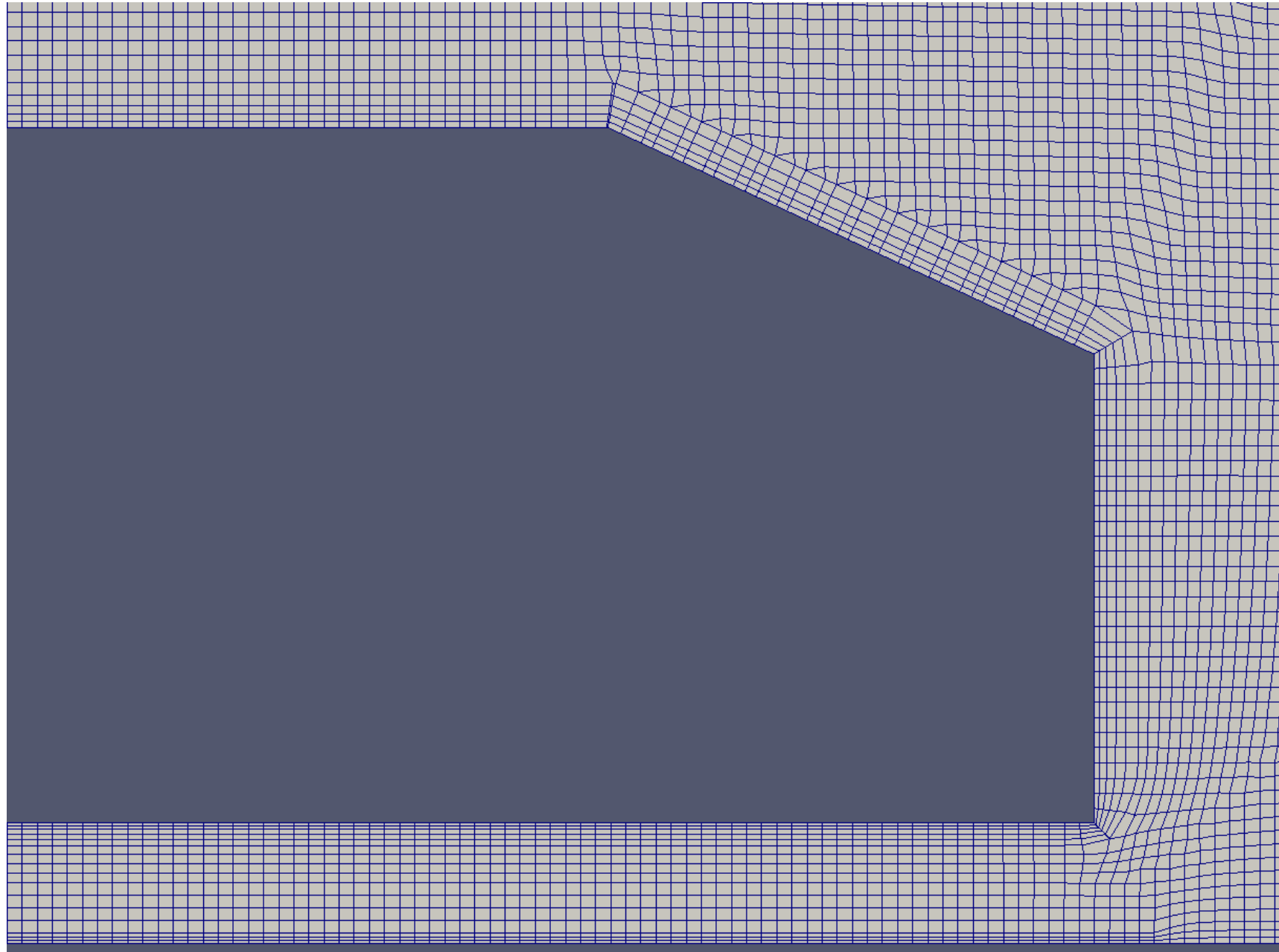


図8 境界層レイヤー(車体表面5層, 地表面3層)

13.10 前処理のログの確認

ジョブが終了したら、必ずジョブのエラー出力ファイル*.sh.e[ジョブID]にエラーが出力されていない無い事を確認する。

```
1 more *.sh.e* # または、ls -l *.sh.e* でファイルサイズが0である事を確認する
```

次に、moreコマンドを用いて、snappyHexMeshログの確認を行う。

```
1 more *.snappyHexMesh
```

最初にIntel MPIのデバッグ情報が出力されているので、プロセスのピニングが意図したものか確認する。

pre.sh.l*.snappyHexMesh

```
1 [0] MPI startup(): Multi-threaded optimized library
2 [0] MPI startup(): shm data transfer mode # [ランク] 使用されるファブリック
3 # 略
4 [63] MPI startup(): shm data transfer mode # [ランク] 使用されるファブリック
5 # Omni-Pathのデフォルトでは、ノード内はshm(共有メモリ)、ノード間はtmi(Tag Matching Interface)
6 [0] MPI startup(): Rank      Pid      Node name  Pin  cpu # プロセスのピニング情報
7 [0] MPI startup(): 0        48661    c3847.ofp  2      # Rank0 → Pin2
8 # 略
9 [0] MPI startup(): 63       48733    c3847.ofp  65     # Rank63 → Pin65
10 [0] MPI startup(): I_MPI_DEBUG=5
11 [0] MPI startup(): I_MPI_FABRICS_LIST=tmi # 使用するファブリックリストの指定(注)
12 [0] MPI startup(): I_MPI_FALLBACK=0      # 指定したファブリックを必ず使用する(注)
```

```

13 [0] MPI startup(): I_MPI_INFO_NUMA_NODE_MAP=hfi1_0:0
14 [0] MPI startup(): I_MPI_INFO_NUMA_NODE_NUM=2
15 [0] MPI startup(): I_MPI_JOB_FAST_STARTUP=1 # 高速プロセス起動アルゴリズムon(注)
16 # 略
17 [0] MPI startup(): I_MPI_PIN_MAPPING=64:0 2,1 3,2 4,3 5,4 6,5 7,6 8,7 9,8 10,9 11,10
     12,11 13,12 14,13 15,14 16,15 17,16 18,17 19,18 20,19 21,20 22,21 23,22 24,23 25,24
     26,25 27,26 28,27 29,28 30,29 31,30 32,31 33,32 34,33 35,34 36,35 37,36 38,37 39,38
     40,39 41,40 42,41 43,42 44,43 45,44 46,45 47,46 48,47 49,48 50,49 51,50 52,51 53,52
     54,53 55,54 56,55 57,56 58,57 59,58 60,59 61,60 62,61 63,62 64,63 65 # ピニング設定(注)
18 # (注) これらはmpi_core_setting.shで設定される環境変数

```

また、OpenFOAMのアプリケーションのログにおけるnProcsやHostsの出力が意図したプロセッサ数やノード数となっていない場合には、ジョブファイルの指定を確認する。

pre.sh.*.snappyHexMesh

```

1 Build   : v1712 # ビルドバージョン
2 Arch    : "LSB;label=32;scalar=64" # "バイト順;ラベルbit数;実数変数bit数"
3 Exec    : snappyHexMesh -decomposeParDict system/decomposeParDict.mesh -overwrite -
            parallel # 実行コマンド
4 Date    : Jan 1 1970 # 開始日時
5 Time    : 00:00:00    # 開始時刻
6 Host    : "cxxxx.ofp" # ホスト名
7 PID     : xxxxxx      # プロセスID
8 I/O     : uncollated # 領域分割ファイルを1ファイルにまとめない
9 Case   : /work/0/gt00/txxxxx/lecture/Ahmed25/case-1 # ケースディレクトリ

```

```
10 nProcs : 64 # 計算で使用されているプロセス数
11 Hosts :
12 (
13     (cxxxx.ofp 64) # (計算ノードのホスト名 MPIプロセス数)
14 )
```

パッチに付加されたレイヤの統計情報は、snappyHexMeshのログの最後に出力される。

Code 16 pre.sh.l*.snappyHexMesh

patch	faces	layers	overall	thickness
			[m]	[%]
-----	-----	-----	---	---
lowerWall	38953	2.99	0.00831	91.4
AhmedBody_body	16595	4.85	0.0155	83.1
AhmedBody_head	2288	4.65	0.0161	86.4
AhmedBody_stilt	240	1.3	0.0027	14.5
AhmedBody_slant	1062	4.58	0.0176	94.5

また、checkMeshのログにエラーが無い事を確認する。

checkMesh のログ確認

```
1 more *.checkMesh
```

14 ファイルの転送

今回は、データをクライアント側に転送して可視化するので、ユーザマシンの端末で以下のコマンドを実行して、講習用ファイル一式をユーザマシンに転送する。

(ユーザマシン) 講習会用ファイルの転送

```
1 cd
2 ls
3 # もし、既にlectureが存在したら、mv lecture lecture.0 のようにして別名に変更する。
4 mkdir lecture
5 rsync txxxxx@ofp.jcahpc.jp:lecture/ ~/lecture/ -auv --exclude=processor*
```

ここで、txxxxxは利用者番号である。

なお、転送元と転送先どちらもに末尾に/(スラッシュ)を付ける。オプションの意味は、以下の通りである。

- -a (-archive) : ディレクトリを再帰的かつ、ファイル情報を保持したまま転送。
- -u (-update) : 新規・更新されたファイル・ディレクトリのみ転送。
- -v (-verbose) : 転送情報を表示。
- -exclude=processor* : processorディレクトリを除外して転送。

転送元の講習会用ディレクトリの実体は/*work/gt00/\$USER/lecture*であるが、講習会用ディレクトリの参照を容易にするために、ホームディレクトリにシンボリックリンクを貼っているので、上記の指定で参照可能である。

15 格子の可視化

15.1 最終生成格子の可視化

ユーザマシンでParaViewを立ち上げて、OpenFOAMデータ可視化用のダミーファイルpv.foamを読み込み、格子を可視化する。

表4 ParaViewによるベース格子の可視化

1. ‘File/Open’メニューで、ケースのディレクトリのpv.foamを選択し、OKを押す。
2. Mesh Regionsでcenter, lowerWall, AhmedBody_*を選択する(レイヤを可視化する場合にはcenterのみを選択する)。
3. ‘Apply’ボタンを押す。
4. ‘Properties’タブ内の‘Representation’で‘Surface With Edges’を選択する。
5. ‘Properties’タブ内の‘Coloring’で‘Solid Color’を選択する。
6. 齒車状のボタンを押して、‘Advanced Properties’を有効にする。



7. ‘Camera Parallel Projection’をチェックして、格子の分割幅がわかりやすい平行投影モードにする。

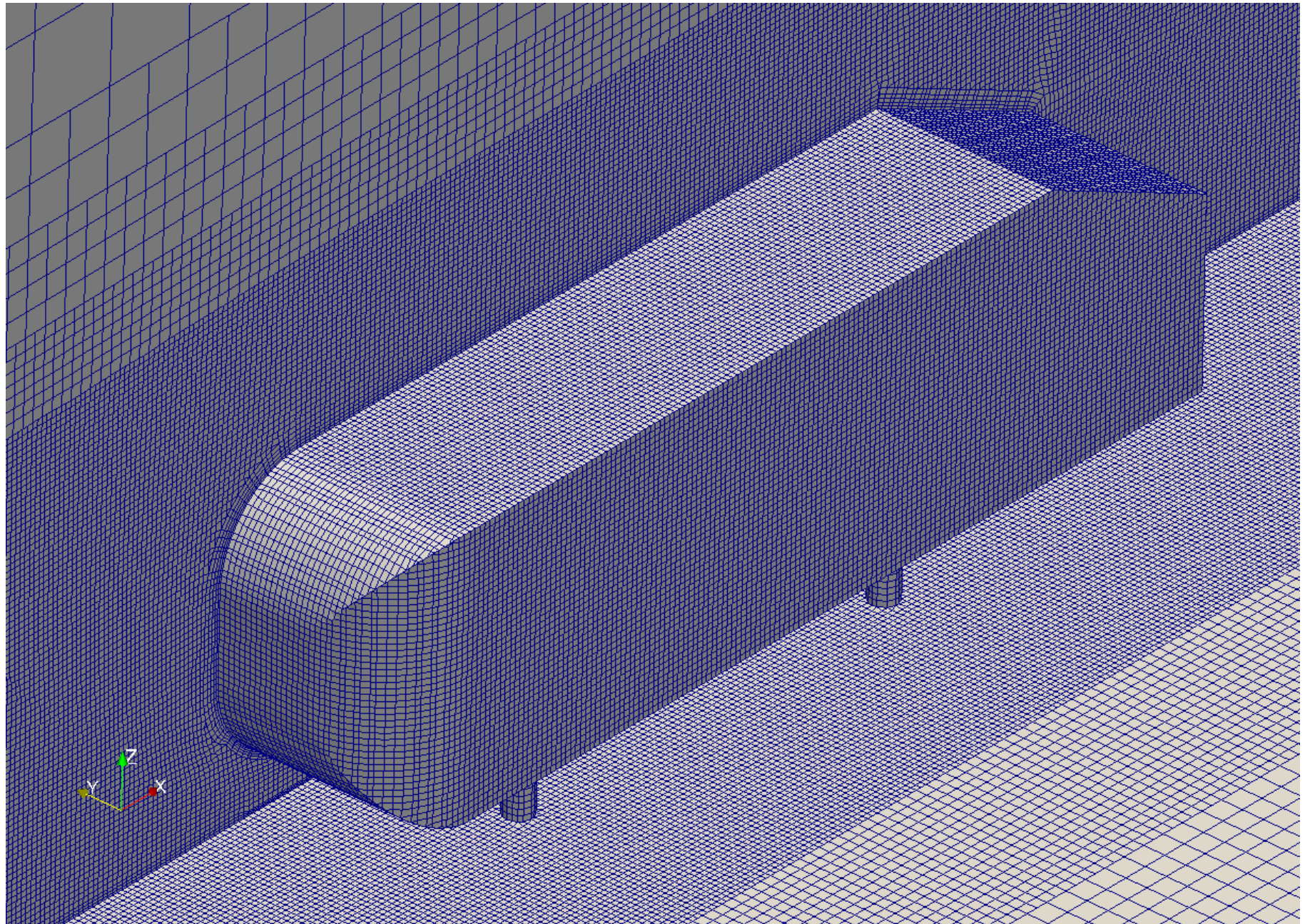


図9 生成格子

15.2 特徴辺の可視化

- `surfaceFeatureExtract` コマンドを実行すると, `constant/triSurface` に特徴辺ファイル `.eMesh` が作成される.
- 特徴辺ファイルは OpenFOAM の独自形式であるため ParaView 等で可視化できない.
- `writeObj` が `yes` の場合には, `constant/extendedFeatureEdgeMesh` に WaveFront OBJ 形式の特徴辺が `AhmedBody_edgeMesh.obj` として出力される.
- ParaView の ‘File/Open’ メニューから `constant/extendedFeatureEdgeMesh/AhmedBody_edgeMesh.obj` を読み込む.

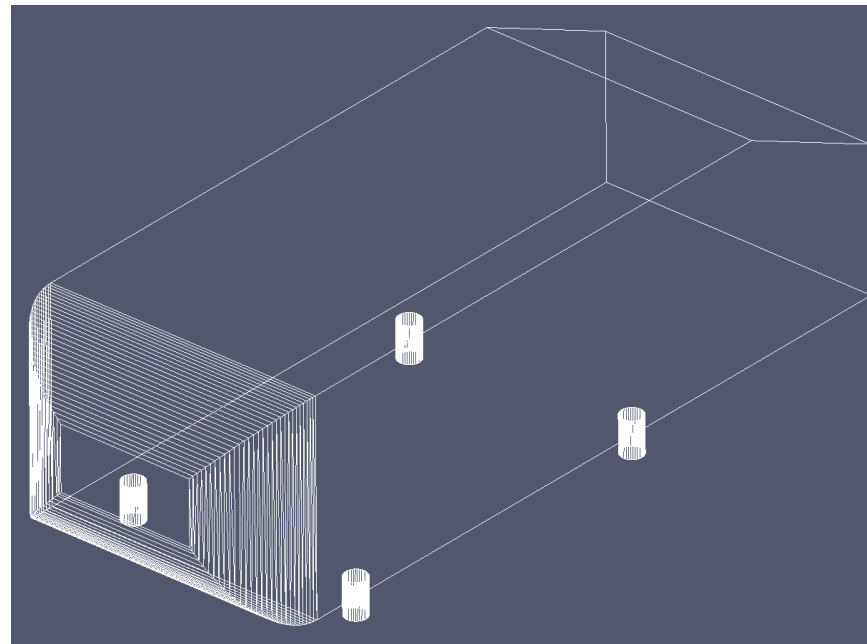


図 10 特徴辺

16 流体解析用の領域分割

Code 17 decomposePar.sh

```
1 #!/bin/bash
2 #PJM -S
3 #PJM -g gt00
4 #PJM -L elapse=0:15:00
5 #PJM -L rscgrp=tutorial-flat
6 #PJM -L node=1
7 source share.sh # 共通の設定
8 rm -rf 0;mkdir 0;cp -a 0.orig/* 0/ # 初期時刻ディレクトリを用意
9 $numa decomposePar -force >& $log.decomposePar # 流体解析用の領域分割
10 # -force :並列格子生成用のプロセッサディレクトリが残っているので消去する
```

Code 18 system/decomposeParDict

```
18 numberofSubdomains 256; // 並列数
19
20 // 分割手法
21 method scotch;
```

今回は、1ノードあたり64プロセスで4ノード使用し、計256プロセスの並列解析を行う。

流体解析用の領域分割

```
1 pbsub decomposePar.sh # 講習会終了後は pbsub -L rscgrp=lecture-flat decomposePar.sh
```

17 初期値作成

Code 19 solvelnit.sh

```
1 #!/bin/bash
2 #PJM -S
3 #PJM -g gt00
4 #PJM -L elapse=0:15:00
5 #PJM -L rscgrp=tutorial-flat
6 #PJM -L node=4
7 #PJM --mpi proc=256
8 source share.sh # 共通の設定
9 # 格子順変更による行列バンド幅縮小
10 $mpirun $numa renumberMesh -overwrite -parallel >& $log.renumberMesh
11 # ポテンシャル流れを解いて初期値とする
12 $mpirun $numa potentialFoam -parallel >& $log.potentialFoam
```

- -L node=4 : ノード数=4
- -mpi proc=256 : 総プロセス数=256=4×64(ノード毎のプロセス数ではない)
- renumberMesh : 格子順変更→行列バンド幅縮小
 - 有限体積法では、圧力のPoisson方程式および運動量(速度)や乱流統計量の輸送方程式は、各種モデル化やsystem/fvSchemesで設定した離散化スキームを用いて離散化され、最終的には線型一次方程式に帰着される。
 - 線型一次方程式は、system/fvSolutionで設定した線型ソルバを用い、許容残差の範

囲で解かれる。

- 係数行列のバンド幅が小さいほうが一般に計算効率が良いため、バンド幅を縮小させるために、格子の順番を変更する。
- `potentialFoam` : ポテンシャル流れを解いて初期値とする
 - 流体の粘性を無視しているため短時間で解けるポテンシャル流れを解き、流体解析の初期値として用いる。
 - ポテンシャル流れを初期値とすると、通常安定かつ早く収束できる。

17.1 初期値作成ジョブの投入

初期値作成

```
1 pbsub solveInit.sh # 講習会終了後は pbsub -L rscgrp=lecture-flat solveInit.sh
```

18 流体解析

Code 20 solve.sh

```
1 #!/bin/bash
2 #PJM -S
3 #PJM -g gt00
4 #PJM -L elapse=0:15:00
5 #PJM -L rscgrp=tutorial-flat
6 #PJM -L node=4
7 #PJM --mpi proc=256
8 source share.sh # 共通の設定
9 $mpirun $numa simpleFoam -parallel >& $log.simpleFoam # 並列流体解析
```

流体解析実行

```
1 pbsub solve.sh # 講習会終了後は pbsub -L rscgrp=lecture-flat solve.sh
```

19 関数出力のモニター

線型ソルバーの残差や空力係数をモニターする場合は `foamMonitor` コマンドを用いる。

Code 21 `foamMonitor.sh`

```
1#!/bin/bash
2module purge # 標準で有効なmoduleに依存しないよう全moduleをunload
3module load intel/2018.1.163 # intelコンパイラ環境をload
4source /work/gt00/share/OpenFOAM/OpenFOAM-v1712/etc/bashrc \
5WM_COMPILER=Icc2018_1_163 WM_MPLIB=INTELMPI2018_1_163 # OpenFOAM-v1712環境設定
6foamMonitor -r 1 postProcessing/forceCoeffs/0/coefficient.dat & # -r :更新秒
7foamMonitor -r 1 -l postProcessing/residuals/0/residuals.dat & # -l : 縦軸log
```

`solve.sh` のジョブが開始されたら、以下を実行する。

関数出力のモニター

```
1 ./foamMonitor.sh
```

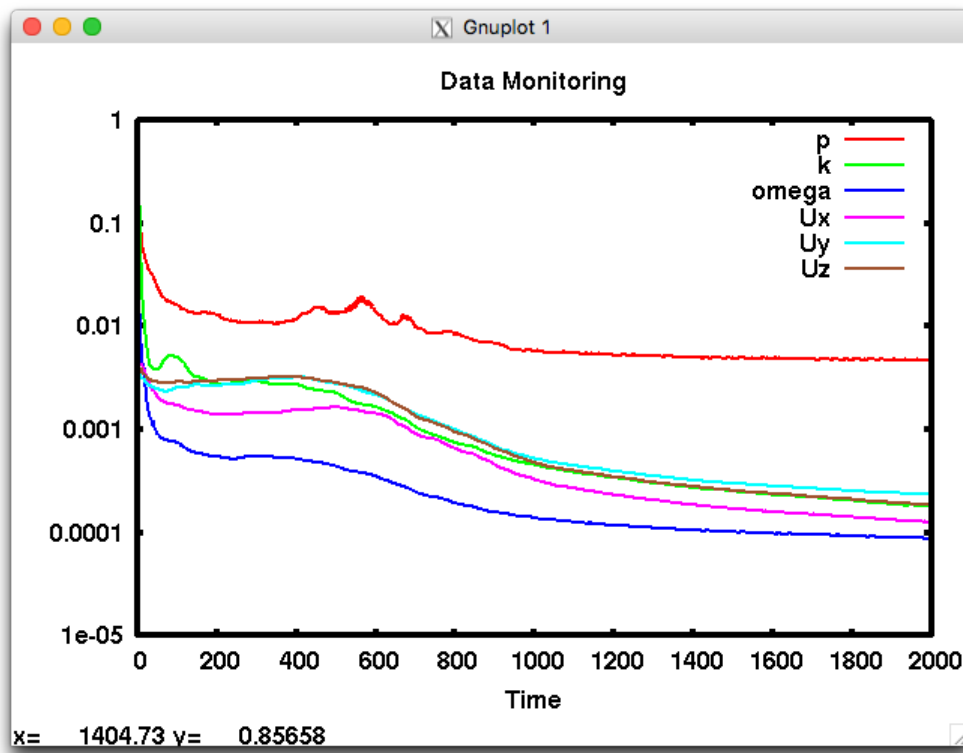


図11 線型ソルバー残差のモニター

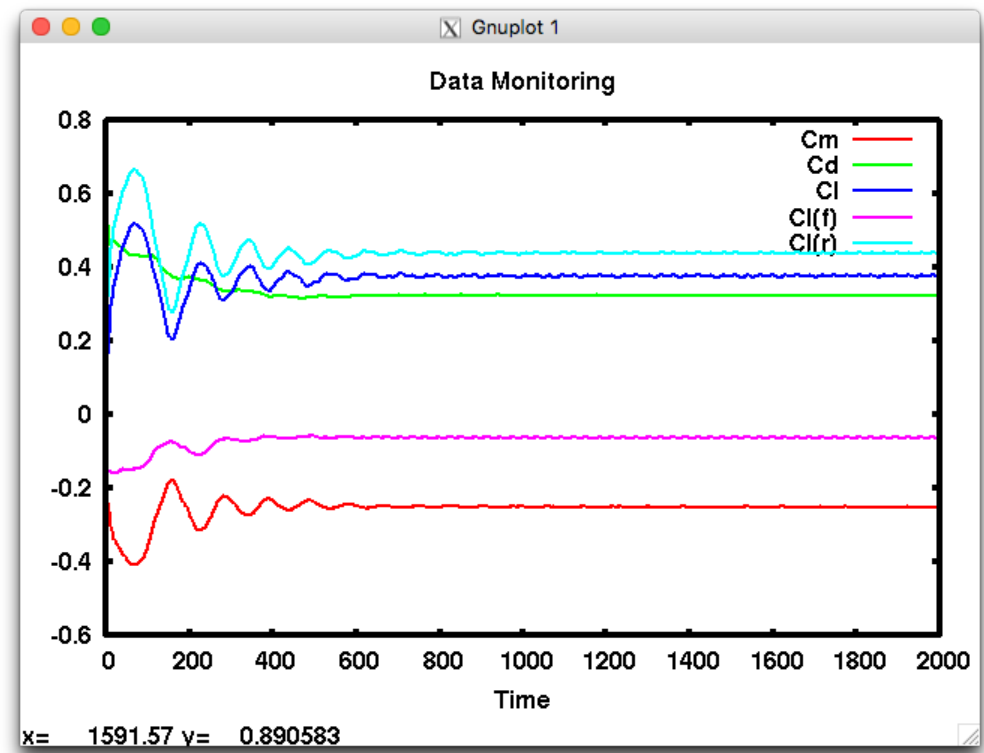


図12 空力係数のモニター

20 流体解析の設定

20.1 流体物性値の設定

粘性係数などの流体物性値はconstant/transportPropertiesで設定する。空気の動粘性係数は $\nu = 1.5 \times 10^{-5} \text{ m}^2/\text{s}$ を設定する。

Code 22 constant/transportProperties

```
19 nu [0 2 -1 0 0 0 0] 1.5e-05; // 動粘性係数 [m^2/s]
```

20.2 乱流モデルの設定

乱流モデルはconstant/turbulencePropertiesで設定する。RANSの $k - \omega$ SSTモデルの乱流モデルを設定する。

Code 23 system/turbulenceProperties

```
17 simulationType RAS;  
18  
19 RAS  
20 {  
21     RASModel           kOmegaSST;      // k-ω SSTモデル  
22 //  RASModel           kEpsilon;       // 標準k-ε モデル  
23 //  RASModel           RNGkEpsilon;    // RNG k-ε モデル  
24 //  RASModel           realizableKE; // Realizable k-ε モデル  
25 //  RASModel           kOmega;        // k-ω モデル
```

```
26
27     turbulence          on; // 乱流の計算 :on=有効、off=無効
28
29     printCoeffs        on; // 乱流モデル係数の表示 :on=有効、off=無効
30 }
```

RASModel で乱流モデルの種類を設定する。また、printCoeffsがonの場合は、計算初期に乱流モデル係数が表示される。バージョンによって、デフォルトの係数が変更される場合があるので、計算条件保存のためonにしておくほうが良い。

Tips

例えば、OpenFOAM-5.0およびv1712から、標準 $k - \varepsilon$ モデル(kEpsilon)のモデル係数 C3 のデフォルト値が-0.33から0に変更されている。

20.3 離散化スキームの設定

離散化スキームは system/fvSchemes で設定する。移流項のスキーム divSchemes(phi, 変数) は、速度について TVD 系スキーム limitedLinear のベクトル版 limitedLinearV を使用する。limitedLinear スキームのパラメータは 0 から 1 の範囲を取るが、最も安定となる 1 を指定した。乱流統計量については、最も安定である upwind(一次風上) を用いた。もちろん、他のスキームでの解析可能である。

```

27 divSchemes
28 {
29     default          none;
30
31     // 移流項の離散化スキーム
32     div(phi,U)      bounded Gauss limitedLinearV 1; // TVD系スキーム
33 // div(phi,U)      bounded Gauss upwind;
34 // div(phi,k)      bounded Gauss limitedLinear 1;
35     div(phi,k)      bounded Gauss upwind;           // 風上(最安定・1次精度・数値拡散過大)
36 // div(phi,omega)  bounded Gauss limitedLinear 1;
37     div(phi,omega)  bounded Gauss upwind;           // 風上(最安定・1次精度・数値拡散過大)

```

20.4 解法の設定

Code 25 system/fvSolution

```

17 solvers
18 {
19     // 圧力のPoisson方程式の線型ソルバの設定
20     p
21     {
22         solver      PCG; // 線型ソルバ:PCG(前処理付き共役勾配法)
23         preconditioner DIC; // 前処理:DIC(diagonal incomplete-Cholesky)
24         tolerance   1e-7; // 最終残差の許容誤差

```

```

25     relTol          0.01; // 相対残差(最終残差/初期残差)の許容誤差
26 }
27
28 // potentialFoam用の線型ソルバの設定
29 Phi
30 {
31     $p; // p(圧力)の定義を参照する(pと同じ設定を用いる)
32 }
33
34 // U, k, omega, epsilonの輸送方程式の線型ソルバ
35 "(U|k|omega|epsilon)"
36 {
37     solver          smoothSolver; // 線型ソルバ:定常反復法
38     smoother        GaussSeidel; // スムーサ:ガウス-ザイデル法
39     tolerance       1e-8; // 最終残差の許容誤差
40     relTol         0.1; // 相対残差(最終残差/初期残差)の許容誤差
41     nSweeps        1; // 反復内のスイープ数
42 }
43 }
44
45 SIMPLE
46 {
47     // 非直交補正反復回数
48     // 格子の非直交性が悪く初期に発散する場合には非直交補正の反復を1以上にする

```

```
49     nNonOrthogonalCorrectors 1;
50
51     // SIMPLE(SIMPLE consistent)型か?
52     consistent yes;
53 }
54
55 // SIMPLE, SIMPLEC法の緩和係数
56 // 発散する場合には小さくする
57 relaxationFactors
58 {
59     equations
60     {
61         U                      0.9;
62         "(k|omega|epsilon)" 0.9;
63     }
64 }
65
66 // potentialFoamの反復回数
67 potentialFlow
68 {
69     nNonOrthogonalCorrectors 15;
70 }
```

20.5 実行制御の設定

Code 26 system/controlDict

```
17 application      simpleFoam; // アプリケーション名
18 startFrom       startTime; // 解析開始の設定法
19 startTime        0;          // 解析の開始時間(定常計算では、時間=反復番号)
20 stopAt          endTime;   // 解析終了の設定法
21 endTime         500;        // 解析の終了時間
22 deltaT          1;          // 解析時間刻み(定常計算では通常1)
23 writeControl    timeStep;  // 解析結果書き出しの決定法
24 writeInterval   500;        // 書き出す間隔
25 runTimeModifiable true;   // 各時間ステップで設定ファイルを再読み込みするか
26 writeFormat     binary;    // データファイルのフォーマット(binary, ascii)
27 writePrecision  6;          // データファイルの有効桁(上記がasciiの場合)
28 writeCompression off;     // データファイルの圧縮(off, on)
29 timeFormat      general;  // 時刻ディレクトリのフォーマット
30 timePrecision   6;          // 時刻ディレクトリのフォーマット有効桁
```

20.6 計算履歴の出力

抗力・揚力係数(C_d , C_l)や、線型ソルバ残差の履歴を出力するには、OpenFOAMの関数機能functionsを利用するため、system/controlDictのfunctionsに、#includeを用いて関数を定義したファイルを設定する。関数定義のファイルはsystemに置く。

Code 27 system/controlDict

```
32 functions
33 {
34     #include "forceCoeffs"
35     #include "forces"
36     #include "residuals"
37 }
```

空力係数の関数を定義したsystem/forceCoeffsでは、以下のように、車体のパッチ名、自由流速度(流入速度)、代表長さ、代表面積(見付面積)などを定義する。空力の関数を定義したsystem/forcesもほぼ同様である。

Code 28 system/forceCoeffs

```
9 forceCoeffs
10 {
11     type      forceCoeffs;          // 関数型
12     libs      ("libforces.so");    // 関数のライブラリ
13     writeControl timeStep;        // 出力間隔手法(時刻ステップベース)
14     timeInterval 1;              // 算出間隔(毎回)
15     log        yes;               // ログ出力の有無
16     patches   ("AhmedBody_.*");  // 車体のパッチ名
17     rho        rhoInf;            // 密度の定義
18     rhoInf    1.225;              // 流体密度(非圧縮性解析の場合、ダミー)
19     liftDir   (0 0 1);            // 揚力方向
20     dragDir   (1 0 0);            // 抗力方向
```

```

21 pitchAxis (0 1 0);           // ピッティング軸方向
22 CofR      (-0.5269 0 0.186); // モーメント中心
23 magUInf   40;                // 自由流速度(流入速度)
24 lRef      0.47;               // モーメント算出用代表長さ
25 Aref      0.0575;              // 代表面積(見付面積. 0.389*0.288/2+0.03*0.05)
26 }

```

線型ソルバ残差の出力の関数定義は以下のように、残差を出力する場のリストなどを定義する。

Code 29 system/residuals

```

9 residuals
10 {
11 type      residuals;        // 関数型
12 libs      ("libutilityFunctionObjects.so"); // 関数のライブラリ
13 writeControl timeStep;     // 出力間隔手法(時刻ステップベース)
14 writeInterval 1;           // 算出間隔(毎回)
15 fields (p U k omega);    // 残差を出力する場のリスト
16 }

```

20.7 境界条件の設定

本モデルの境界条件を表5に示す。境界条件は0.origディレクトリに置かれた物理量ファイル(U, p, k, omega, nut...)で設定する。

表5 境界条件

境界名	境界型	U	p	k	ε	ω	ν_t
inlet	patch	fixedValue	zero Gradient	turbulent Intensity Kinetic Energy Inlet	turbulent MixingLength Dissipation Rate Inlet	turbulent MixingLength Frequency Inlet	calculated
outlet	patch	pressure InletOutlet Velocity	fixedValue	inletOutlet	inletOutlet	inletOutlet	calculated
lowerWall, Ahmed_.*	wall	noSlip	zero Gradient	kqRWall Function	epsilonWall Function	omegaWall Function	nutkWall Function
upperWall, side	wall			slip			
center	symmetry			symmetry			

20.8 解析結果の再構築

Code 30 reconstructPar.sh

```
7 source share.sh # 共通の設定
8 $numa reconstructPar -latestTime >& $log.reconstructPar # 最終時刻の解析結果の再構築
```

解析結果の再構築

```
1 pbsub reconstructPar.sh # 講習会終了後は pbsub -L rscgrp=lecture-flat reconstructPar.sh
```

21 空力係数の実測値との比較

Ercoftacベンチマークでは車両の空気抗力係数 C_d と車両周りの対称面における主流方向速度分布について検証されているので、実験値との比較検証を行う。

空力係数の関数の算出結果は、流体解析実行時に

postProcessing/forceCoeffs/0/coeffcient.dat 出力されているので、以下のようにして値を確認し、風洞実験値と比較する。結果を表6に示す。

空力係数の関数出力の表示

```
1 more postProcessing/forceCoeffs/0/coeffcient.dat
```

Code 31 空力係数の関数出力

10	# Time	Cm	Cd	Cl	Cl(f)	Cl(r)
11	500	-2.446843e-01	3.247248e-01	3.799807e-01	-5.469401e-02	4.346747e -01

表6 空力係数の比較

	実験	CFD(template)
抗力係数 C_d	0.299	0.325
揚力係数 C_l	0.345	0.380

22 後処理

Code 32 post.sh

```
1 #!/bin/bash
2 #PJM -S
3 #PJM -g gt00
4 #PJM -L elapse=0:15:00
5 #PJM -L rscgrp=tutorial-flat
6 #PJM -L node=4
7 #PJM --mpi proc=256
8 source share.sh # 共通の設定
9 # サンプリング
10 $mpirun $numa postProcess -parallel -latestTime -func sample >& $log.sample
11 # 無次元化壁座標y+算出
12 $mpirun $numa simpleFoam -parallel -latestTime -postProcess -func yPlus >& $log.yPlus
```

解析結果をサンプリングしたり、無次元化壁座標 y^+ を算出するなどの後処理についても並列実行が可能である。

後処理ジョブの投入

```
1 pbsub post.sh # 講習会終了後は pbsub -L rscgrp=lecture-flat post.sh
```

サンプリングの設定は system/sample で行う。

Code 33 system/sample

```
18 type sets;           // 関数型
19 libs ("libsampling.so"); // 関数のライブラリ
20
21 // 補間方法: 格子中心と節点, 界面における値を用いて補間
22 interpolationScheme cellPointFace;
23
24 // 集合サンプリング出力形式 raw:ASCII生データ形式
25 setFormat raw;
26
27 // サンプルするフィールドのリスト
28 fields
29 (
30     U
31 );
32
33 // 集合サンプリングの定義
34 sets
35 (
36     x-243 // 鉛直プロファイルラインのサンプリング名
37     {
38         // サンプルタイプ: 線分と格子界面との交点の中点および界面
39         type          midPointAndFace;
40         // サンプリング座標値の出力軸
```

また、無次元化壁座標 y^+ は、*post.sh.l*.yPlus*で確認できる。

Code 34 post.sh.l*.yPlus

```
601 yPlus yPlus write:  
602     writing field yPlus  
603     patch side y+ : min = 0.4074, max = 1883.17, average = 74.6756  
604     patch lowerWall y+ : min = 24.8497, max = 392.265, average = 108.25  
605     patch upperWall y+ : min = 3.88533, max = 174.989, average = 102.439  
606     patch AhmedBody_body y+ : min = 27.5751, max = 462.126, average = 116.744  
607     patch AhmedBody_head y+ : min = 13.1871, max = 143.468, average = 59.8327  
608     patch AhmedBody_stilt y+ : min = 33.0879, max = 580.702, average = 126.926  
609     patch AhmedBody_slant y+ : min = 68.1991, max = 370.604, average = 139.328
```

23 速度分布のプロットと実験値との比較

- 実験値と解析結果のデータをプロットしてグラフ化するが、ここではgnuplotを用いる。
- 今回は車体後部上面の各点についての速度分布を確認するために車体後部上面の形状もプロットした。他にも、線型ソルバーの残差、空力係数、空力のプロット用gnuplot入力ファイルがplotディレクリに収めてあるので、これらをgnuplotでプロットする(もちろん手動でgnuplotを実行しても良い)。

Code 35 plot.sh

```
7 for file in plot/*.gp
8 do
9     gnuplot $file
10 done
```

上記を実行し、画像ビューワevinceで表示するには以下のようにする。

プロット実行・表示

```
1 ./plot.sh
2 evince *.pdf
```

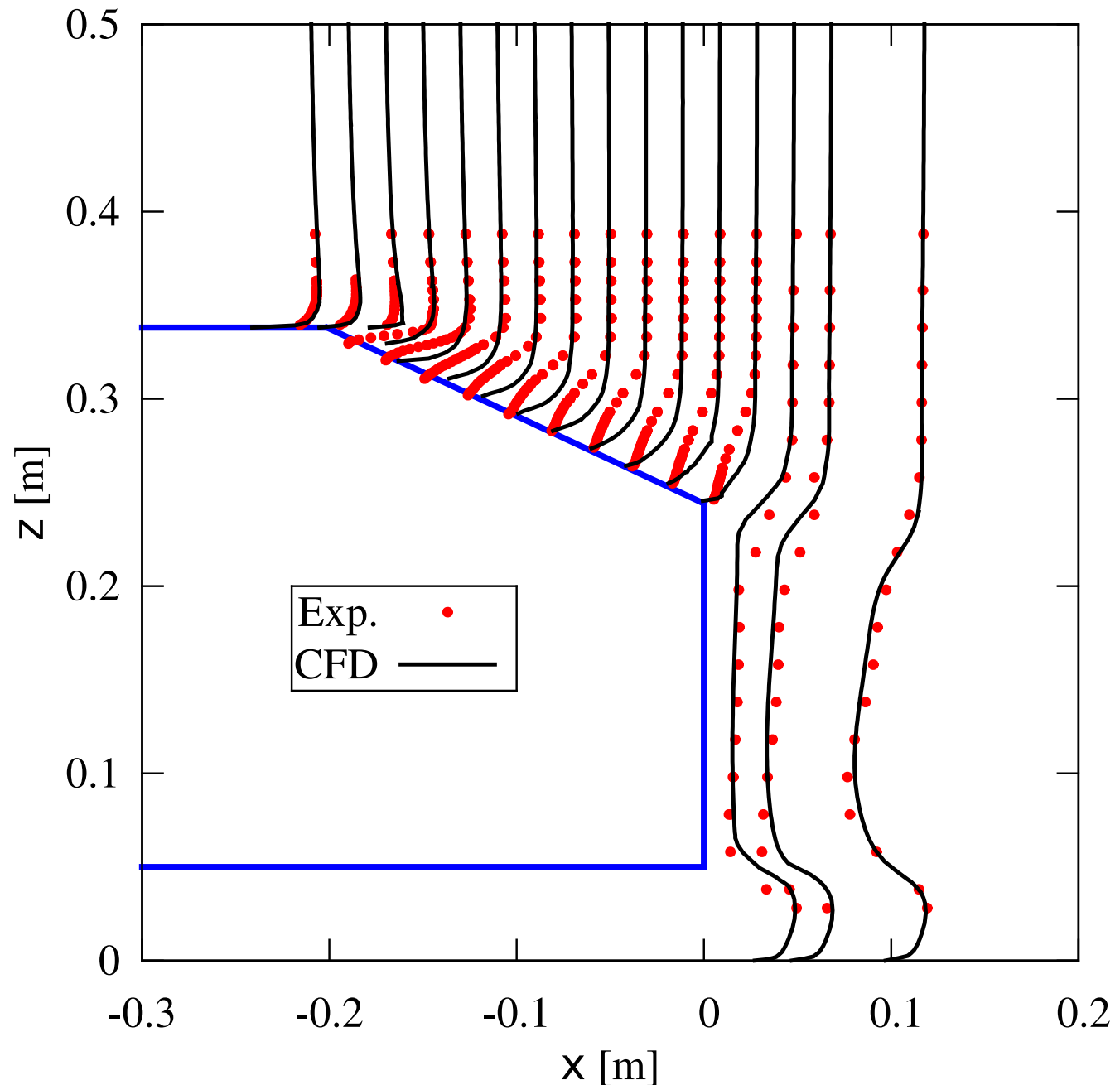


図13 速度の鉛直プロファイルの実験値との比較

24 ParaViewによる計算結果の確認

解析結果をユーザマシンに転送し, ParaViewで流線を描き, 後引き渦の存在を確認する.

(ユーザマシン) 計算結果のファイル転送

```
1 rsync txxxxx@ofp.jcahpc.jp:lecture/ ~/lecture/ -auv --exclude=processor*
2 または, カーソル↑で上記を呼び出してリターン(エンター)キーを押す
```

1. Refreshボタンを押して, 転送した解析結果を読み込む.
2. Mesh RegionsでinternalMesh, center, lowerWallおよびAhmedBody_*を選択する.
3. Cell ArraysでUのみを選択する.
4. Last Frameボタンを押して, Applyボタンを押す.
5. Pipeline Browserでpv.foamを選択し, Extract Blockフィルターを選択後, internalMesh以外の全パッチを選択し, Applyボタンを押す.
6. Coloringを○Uにする.
7. Pipeline Browserでpv.foamを選択し, Extract Blockフィルターを選択後, internalMeshを選択し, Applyボタンを押す.
8. さらにStream Tracerフィルターを選択し, Seed typeにHigh resolution line sourceを選択し, Point1=(-5,-0.935,0.2), Point2=(-5,0,0.2), Resolution=100を入力する.
9. Applyボタンを押して流線を表示する.
10. Coloringを○Uにする.

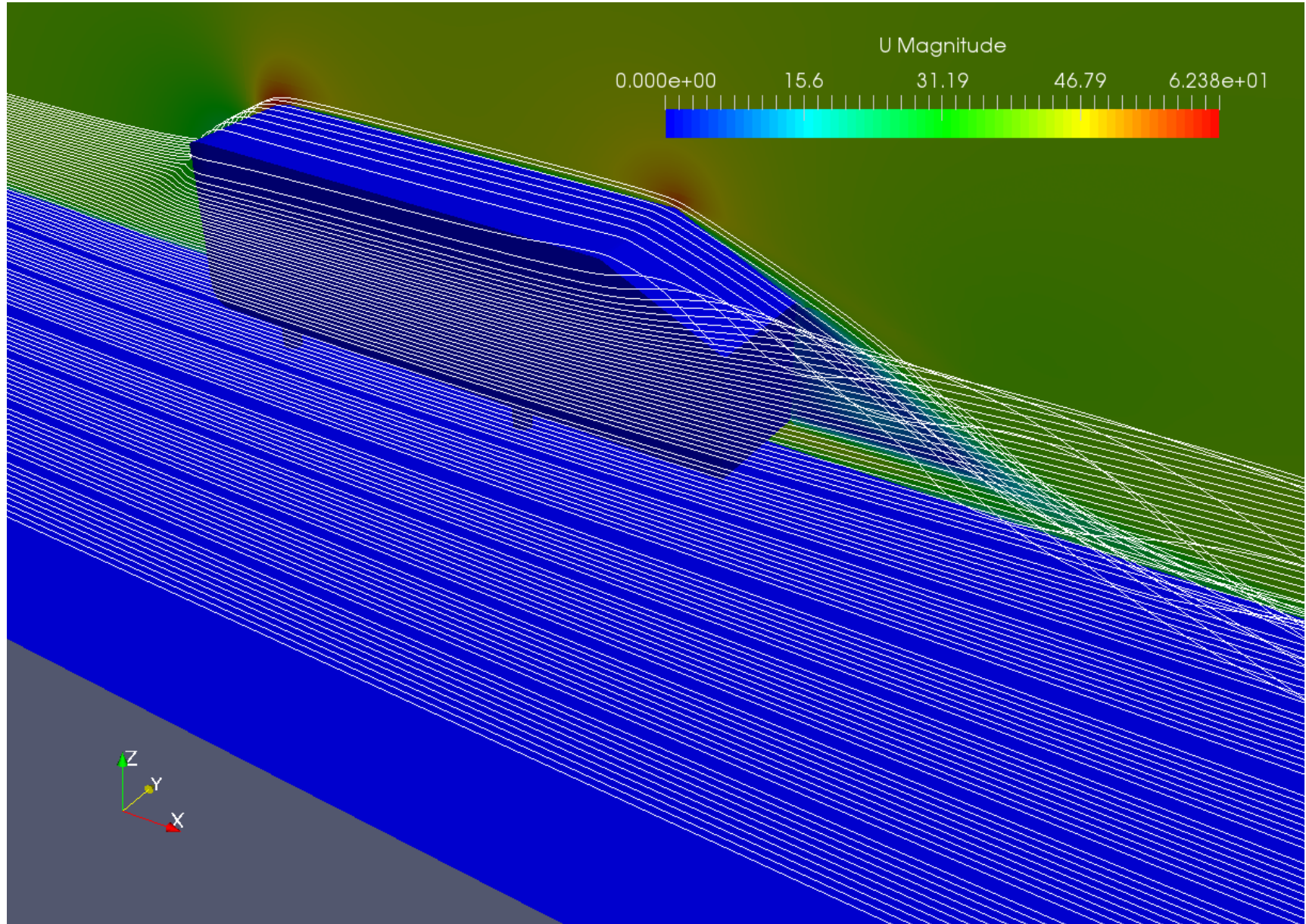


図14 流線と対称面速度分布 (Color Map や Color legend の位置等は適宜変更する)

25 流体解析の性能プロファイル実行

25.1 流体解析の性能プロファイル

- 性能プロファイルにより、計算負荷が高い部分(hotspots)など計算効率改善のためのデータを、ソースの変更や再コンパイル無しに取得可能である。
- ソースレベルの詳細なプロファイルには、デバッグオプションを付けた再コンパイルが必要である。
- VTune Amplifierを用いて、流体解析の性能プロファイル実行を行うスクリプトを示す。

Code 36 solveVtune.sh

```
9 module load vtune/2018.1.0.535340 # VTune Amplifier XEのmoduleをload
10 # VTune Amplifier XEのコマンドamplxe-clをgtoolオプションで指定
11 # -collect hotspots : hotspot(計算負荷が高い部分)の解析を行う
12 # -r ディレトリ名:MPIランク範囲 : MPIランク範囲に関する解析結果をディレトリ名に保存
13 $mpirun -gtool "amplxe-cl -collect hotspots -r $PJM_JOBNAME.v$PJM_JOBID:0" \
14 $numa simpleFoam -parallel >& $log.simpleFoam # 並列流体解析
```

上記のジョブを投入することで、流体解析の性能サンプリングを行うことができる。

流体解析の性能サンプリング

```
1 vi system/controlDict # endTimeを101と短くする(計算負荷の概要把握には十分)
2 pbsub solveVtune.sh # 講習会終了後は pbsub -L rscgrp=lecture-flat solveVtune.sh
```

25.2 プロファイル結果の表示

Code 37 vtune.sh

```
7 module load vtune/2018.1.0.535340 # VTune Amplifier XEのmoduleをload
8 for dir in solveVtune.sh.v*/
9 do
10    # amplxe-cl : VTune Amplifier XEのコマンドライン版コマンド
11    # -r データディレトリ名
12    # -show-as=percent : 関数の実行時間を秒ではなく、割合で示す
13    # -format=csv : テキスト形式ではなく、CSV形式で出力する(区切記号はコンマではなくタブ)
14    amplxe-cl -R hotspots -r $dir -show-as=percent -format=csv > ${dir%/.}.csv
15 done
```

- ここでは、GUIツールを用いず、CLIツールによりプロファイル結果をCSV形式に変換して表示する(GUIは[8]参照)..
- ジョブの実行終了後、上記のスクリプトを実行して、プロファイルデータをテキスト変換して後、表示する。

プロファイルデータの変換と表示

```
1 ./vtune.sh
2 more *.csv
```

以下がCPU時間の割合を示したCSV形式の結果ファイルの一部である。

Code 38 simpleFoam-vtune.sh.v*.csv

Function	CPU Time	
Foam::DICPreconditioner::precondition	15.049757	# 圧力PCG線型ソルバのDIC前処理
PMPI_Allreduce	13.681334	# MPIのAllreduce(線型ソルバのベクトル内積)
Foam::lduMatrix::Amul	9.519370	# 線型ソルバーでの疎行列ベクトル積SpMV
PMPI_Waitall	4.315902	# MPIの非同期通信の終了待ち
Foam::GaussSeidelSmoothen::smooth	3.337809	# 速度と乱流量統計量線型ソルバ(GaussSeidel)
Foam::PCG::solve	3.067522	# 圧力PCG線型ソルバ

- 計算時間の割合は、線型ソルバ関連の
Foam::DICPreconditioner::precondition(PCG線型ソルバのDIC前処理)が1位,
Foam::lduMatrix::Amul(線型ソルバーでの疎行列ベクトル積SpMV)が3位であるが,
MPI通信関連のPMPI_Allreduceが2位, PMPI_Waitallが4位となっている.
- MPIプロセス数が増加するに伴ない、線型ソルバにおけるMPIのAllreduceが計算時間の
多くを占めるようになるので、超大規模ノードの解析では、MPI通信時間を削減・隠蔽す
る必要がある [9].

26 並列計算ベンチマークテスト

- 領域分割数や領域分割方法, メモリモード, 圧力の線型ソルバ等を変更して流体解析を行い, 解析時間を比較する.
 - 領域分割数 (*system/decomposeParDict* の `numberOfSubdomains`)
 - 領域分割法: scotch, multiLevel, simple, hierarchical など
(*system/decomposeParDict* の `method()`)
 - 圧力の線型ソルバ, 前処理, スムーサ (*system/fvSolution*)
 - ノード数 (`pjsub -L node=ノード数 -mpi proc=領域分割数`)
 - メモリモード (`pjsub -L rscgrp={tutorial,lecture}-{flat,cache}`)
- 予備検討で行う並列計算のベンチマークテストでは, 時間(反復)ステップ数を本計算より短くして検討する事が多い.
- 解析の初期化にかかる時間は, ステップ数が多い本計算では相対的に小さくなる.
- ここでは, 初期ステップ完了から最終ステップ完了までの解析時間のステップあたりの平均値を比較する.
- P ノード並列時の初期と最終のステップの解析時間(Execution Time)の差を $t(P)$ として, 以下を求める.
 - スピードアップ率: $S_P = t(1)/t(P)$
 - 並列化効率[%]: $E_P = S_P/P \times 100 = (t(1)/t(P))/P \times 100$
- 生成に時間がかかる格子データ, 領域分割データなどは, なるべく再生成せずに済むようサブディレクトリを作成して, 共有データはシンボリックリンクする.

並列計算ベンチマークテスト実行例

```
1 cd ~/lecture/Ahmed25/case-1
2 mkdir mpi_000064-method_scotch          # 領域分割ケースのディレクトリ作成
3 cd mpi_000064-method_scotch            # cd !$ でも良い
4 ln -s ../{0.orig,constant,*.sh} ./      # 親ディレクトリ内の必要なファイルにリンク
5 cp -a ../system ./                      # systemディレクトリ以下は変更するのでコピー
6 vi system/decomposeParDict             # 領域分割の変更(ここではnumberOfSubdomainsを64)
7 pbsub decomposePar.sh                  # 領域分割
8 pbsub -L node=1 --mpi proc=64 solveInit.sh # decomposePar.shが終了後
9 mkdir solver_PCG-DIC                  # 圧力の線型ソルバのケース
10 cd solver_PCG-DIC                   # cd !$ でも良い
11 ln -s ../{processor*,constant,*.sh} ./ # 親ディレクトリ内の必要なファイルにリンク
12 cp -a ../system ./                  # systemディレクトリ以下は変更するのでコピー
13 vi system/fvSolution                # 圧力の線型ソルバを必要に応じて変更
14 # system/fvSolution.benchに使用可能な線型ソルバ, 前処理, スムーサの定義を記述しているので参照する
15 pbsub -L node=1 --mpi proc=64 -L rscgrp=tutorial-flat solveVtune.sh # 64プロセス/ノード
16 pbsub -L node=1 --mpi proc=64 -L rscgrp=tutorial-cache solveVtune.sh # 上記のCacheモード
17 pbsub -L node=2 --mpi proc=64 -L rscgrp=tutorial-flat solveVtune.sh # 32プロセス/ノード
18 pbsub -L node=2 --mpi proc=64 -L rscgrp=tutorial-cache solveVtune.sh # 上記のCacheモード
19 # 以下同様に別の領域分割ケース/線型ソルバのディレクトリを作成し, 解析ジョブ実行する
```

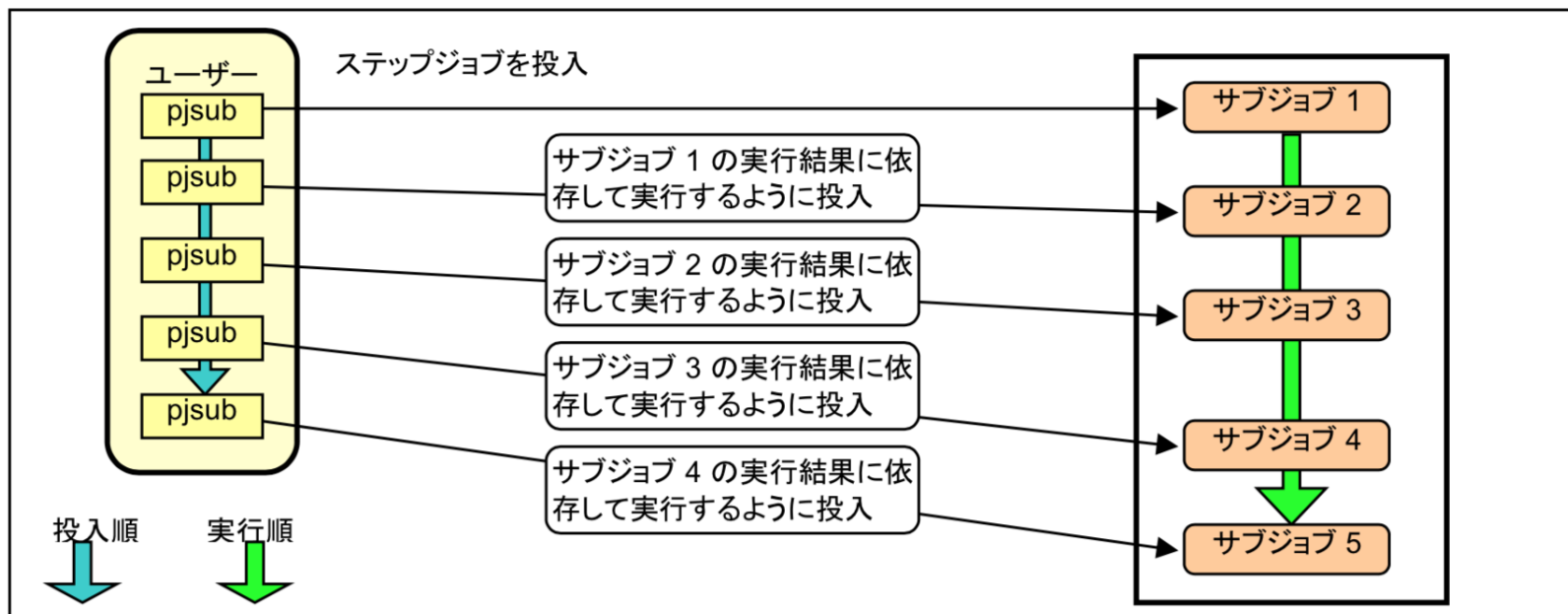
解析時間の集計結果表示

```
1 cd ~/lecture/Ahmed25/case-1
2 ./averageExecutionTime.sh
```

27 格子生成・空力解析演習

27.1 格子生成・空力解析演習手順

- *template*ディレクトリをコピーし、設定の変更を行なう
- 流体解析を実行し、空力係数、速度分布の実験値との比較を行う。
- *./Allrun.batch*を実行すると、前処理から結果プロットまでの全ジョブを、依存関係があるサブジョブとするステップジョブとして投入する。



27.2 格子生成・空力解析演習設定変更例

- 生成格子を変更(設定: *system/snappyHexMeshDict*)
 - 床面や車体表面のレイヤ数・レイヤ最小厚み変更
 - 車体表面の分割レベルの変更
- 流体解析の初期値の境界条件を変更
 - 乱流動粘性係数の *nut* の壁関数変更(設定: *0.orig/nut*)
- 流体解析の計算条件を変更
 - 乱流モデルの変更(設定:*constant/turbulenceProperties*)
 - 移流項離散化スキームの変更(設定:*system/fvSchemes*)

27.3 格子生成・空力解析演習実行例

```
1 cd ~/lecture/Ahmed25
2 cp -a template case-2 # コピー先のディレクトリ名は任意
3 # 既往の生成格子を用いる場合には以下のようにしてコピーする
4 # cp -a case-1/constant/polyMesh case-2/constant/
5 cd case-2           # この後、適宜設定変更
6 ./Allrun.batch        # 格子が生成済の場合pre.shジョブを実行しない(オプションは-hで確認)
7 pjstat -E            # -E: ステップジョブ内のサブジョブを展開して表示
8 ./foamMonitor.sh      # solve.shがRUNNINGになったら実行する
9 evince *.pdf
```

28 補足

28.1 Intel MPIライブラリでの実行エラー

Intel MPIライブラリを用いてOpenFOAMを実行すると、多ノードで実行エラーになる場合があるが、以下のようにしてRDMA translationキャッシュ機能をOFFにすると、実行エラーを回避できる可能性がある。

RDMA translation キャッシュ機能OFF

```
1 export I_MPI_DAPL_TRANSLATION_CACHE=0  
2 export I_MPI_DAPL_UD_TRANSLATION_CACHE=0
```

28.2 Oakforest-PACSでのOpenFOAMのコンパイル

OpenFOAM自動ビルドスクリプトinstallOpenFOAMのWebページを参考にコンパイルする。

URL: <https://gitlab.com/OpenCAE/installOpenFOAM/blob/master/README.md>

参考文献

- [1] The OpenFOAM Foundation
- [2] S.R. Ahmed, G. Ramm, Some Salient Features of the Time-Averaged Ground Vehicle Wake, SAE-Paper 840300, 1984
- [3] H.Lienhart, C.Stoots, S.Becker: Flow and Turbulence Structures int the Wake of a Simplified Car Model (Ahmed Model), DGLR Fach Symp. der AG STAB, Stuttgart University, pp.15-17, November 2000
- [4] Minguez, M., Pasquetti, R., Serre, E.: Spectral vanishing viscosity stabilized les of the ahmed body turbulent wake, Communications in computational physics, 5(2-4), pp.635-648, 2009
- [5] C. Hinterberger, M. Garcia-Villalba, W. Rodi: Large Eddy Simulation of flow around the Ahmed body, "Lecture Notes in Applied and Computational Mechanics / The Aerodynamics of Heavy Vehicles: Trucks, Buses, and Trains", R. McCallen, F. Browand, J. Ross (Eds.), Springer Verlag, ISBN: 3-540-22088-7, 2004
- [6] Flow Around a Simplified Car Body (Ahmed Body) , ERCOFTAC Classic Database C82
- [7] Oakforest-PACS利用支援ポータル 「Oakforest-PACS システム 利用手引書」
- [8] Oakforest-PACS利用支援ポータル 「インテル VTune Amplifier XE 2018」 ドキュメント
- [9] 今野 雅: OpenFOAMにおけるCommunication Avoiding CG法の実装と性能評価, オープンCAEシンポジウム2017, 2017年12月

Copyright

本ドキュメントは、クリエイティブ・コモンズ 表示 - 非営利 4.0 国際 ライセンスの下に提供されています。

This work is licensed under a [Creative Commons Attribution-NonCommercial 4.0 International License](#).

